

碎波水位計の試作と多方向不規則波の碎波の計測

Trial Manufacture of the Breaking Wave Gauge and Measurement of Multi-Directional Random Wave Breaking

岩田好一朗*・川嶋直人**・新美達也***・富田孝史****・許 東秀*****・松本幸久*****
Koichiro Iwata Naoto Kawasima Tatuya Niimi Takasi Tomita Dong Soo Hur Yukihisa Matsumoto

Abstract

The breaking limit of multi-directional random waves is still unknown and is requested to be formulated numerically from coastal and ocean engineering viewpoint. In this paper, a breaking wave gauge is newly devised to measure the wave breaking inception as accurately as possible. Indoor laboratory experiments have shown that the breaking wave gauge is able to measure the breaking inception and that the breaking limit of multi-directional random waves becomes smaller than that of the regular wave. The critical wave steepness of multi-directional random waves is revealed to become smaller as the spreading parameter Smax increases.

Keywords : Wave breaking, Breaking limit, Multi-directional random wave, Breaking wave gauge

1. 緒言 :

碎波に関する研究は古くて新しい研究課題の一つであり、解明すべき問題が多く残されている。海岸の波は、言うまでもなく、多くの方向から来襲してくるいわゆる多方向不規則波であると理解される。この多方向不規則波の碎波限界を明らかにし、碎波直前・直後の多方向不規則波の変形を精度高く予測することは沿岸海象力学、海域構造物の耐波設計及び海域環境保全の面で極めて重要である。

今まで、実験室レベルで多方向不規則波の碎波瞬時とその直前・直後の波を計測してその変形特性を論議した研究は少ない。本研究では、まず多方向不規則波の碎波瞬時を可能な限り正確に計測するために、新たに“碎波水位計”を試作する。ついで、この試作された碎波水位計を使って室内水理模型実験を行ない、潜堤により碎ける多方向不規則波の碎波を計測し、その波形の変化を考究するとともに、碎波限界について論議しようとするものである。

2. 碎波水位計の試作 :

規則波の場合は、波はほぼ同じ位置で繰り返し周期的に碎けるので、規則波の碎波地点や碎波時の波の特性諸量を受感部が一つの従来型の水位計1台を上手に利用することにより計測することは可能である。しかし、多方向不規則波の場合は、異なった多くの位置で碎け、そしてまた繰り返して碎けることは稀なので、従来型の水位計1台で碎波地点を求め、そして碎波時の波の特性諸量を計測することは不可能に近いし、また従来型の水位計を複数台使っても極めて困難である。

このため、本研究では、多方向不規則波の碎波位置を可能な限り正確に特定し、そして碎波直前・直後の水位変動を詳細に計測するために、受感部を多数密に配置した水位計の試作を行った。受感部の数が多い方が望ましいが、製作費をできるだけ安くすること、受感部の相互干渉を起こさないことなどの諸要素を考慮して、図-1に示すような水位計を試作した。本論では、この水位計を“碎波水位計”と名づけて、以後この名称を使用することにする。試作した碎波水位計は、図-1に示されているように、4cm間隔で配置された12個の受感部から構成されている。そして、各受感部は0.5mmの直径で長さ65.5cmのテフロンを絶縁材として使用しているワイヤーであり、12個の受感部より12個の水位変動を同時計測できるようになっている。水深40cmで周期1秒～2秒の波に対して、4cmの受感部の配置間隔は0.0273～0.0108波長に対応しており、12地点の水位変動の詳細な空間変化を計測できるよう工夫されている。

* 正会員 名古屋大学大学院工学研究科 教授 土木工学専攻 〒464-8603 名古屋市千種区不老町

** 正会員 中部電力株式会社・電力技術研究所 水理グループ

*** 正会員 パシフィックコンサルタント(株)東北支社

**** 正会員 運輸省港湾技術研究所 水工部 波浪研究室 主任研究官

***** 学生会員 名古屋大学大学院工学研究科 博士課程後期課程 土木工学専攻

***** 学生会員 名古屋大学大学院工学研究科 博士課程前期課程 地圈環境工学専攻

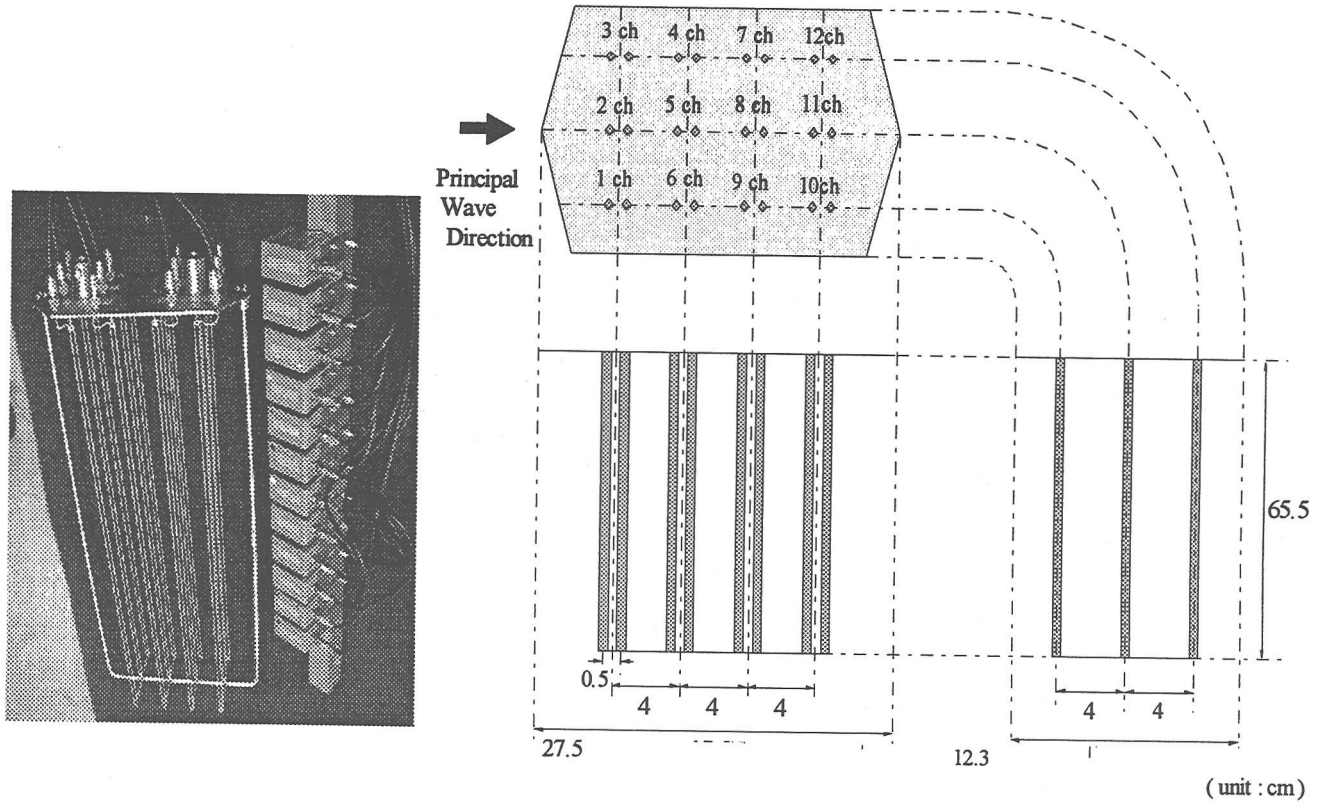


図-1 碎波水位計

3. 水理模型実験 :

実験は中部電力(株)電力技術研究所の平面波浪水槽(長さ30m×幅23m×深さ0.5m)を用いて行われた。水槽の一端には、造波板幅0.5mの独立した駆動系を持つピストン型造波装置41台で構成される全幅21mの多方向不規則波造波装置が設置されており、他端と両側壁には反射波を極力消波するために、それぞれ1/5と1/2の勾配を持つ消波用碎石斜面が設置されている。

本実験では、木製の不透過矩形潜堤による碎波の実験を行った。模型潜堤の寸法は、堤長 $W=300\text{cm}$ 、堤幅 $B=60\text{cm}$ 、堤高 $D=34.5\text{cm}$ と堤長 $W=300\text{cm}$ 、堤幅 $B=60\text{cm}$ 、堤高 $D=36.0\text{cm}$ の2種類である。この不透過潜堤を造波板から600cm離して設置した。なお、この地点は多方向不規則波の造波有効水域内に入っている。

実験波は表-1に示すように、主波向を潜堤に対して直角方向(主波向 $\theta(\text{deg})=90^\circ$)で固定し、有義波周期 $T_{1/3}$ を1.0s、1.6sの2種類、方向集中度パラメーター S_{max} を10、25、75と ∞ の4種類変化させた。なお、多方向不規則波として式(1)で示すBretschneider-光易型の周波数スペクトル(1970)、方向関数として光易型を持つ波(1975)を期待波として造波させた。

$$\left. \begin{aligned}
 F(f) &= 0.257(H_{1/3})^2(T_{1/3})^{-4}f^{-5}\exp[-1.03(T_{1/3}f)^{-4}] \\
 G(f, \theta) &= G_0 \cos^2 S\left(\frac{\theta}{2}\right) \\
 G_0 &= 1 / \left\{ \int_{-\pi}^{\pi} \cos^2 S\left(\frac{\theta}{2}\right) d\theta \right\} \\
 S &= \begin{cases} S_{max} \cdot (f/f_p)^5 & : f \geq f_p \\ S_{max} \cdot (f/f_p)^{-2.5} & : f \leq f_p \end{cases}
 \end{aligned} \right\} \quad (1)$$

ここに、 f_p は周波数スペクトルのピークの周波数($=1/(1.05T_{1/3})$)である。

実験では、静水深 h を50cmの一定水深とした。まず、潜堤を設置して予備実験を行ない、8種類の波を数回造波させて碎波地点を目視で予め求めておき、本実験では目視で求めておいた碎波地点に碎波水位計を設置するとともに、状況に応じて前後左右に碎波水位計を移動させて碎波の計測を行なった。また、造波機により発生する波を星形アレイに配置された電気容量式水位計5台により計測して式(1)の期待スペクトルを持つ波が造波され

ているかどうかの確認を行なった(松本(1998))。また、碎波点近傍の波の挙動を8mmビデオカメラ(SONY: CCD-TR705)を用いて撮影して、碎波水位計による水位記録とつき合せることにより、碎波地点の確認を行なった。

表-1 入射波の実験条件

有義波周期 $T_{1/3}$ (s)	有義波高 $H_{1/3}$ (cm)	方向集中度 S_{max}	主波向 θ (deg.)
1.0	4.5	10, 25, 75, ∞	90
1.6	4.0		

碎波水位計および星形アレイで使用した水位計の時間波形は、パーソナルコンピュータを使ってサンプリングタイム0.01s、データ数を $T_{1/3}=1.0$ sと1.6sの場合それぞれ10240, 20480としてAD変換を行ないハードディスクに収録した。また、ゼロ・ダウンクロス法で波の時間波形の波別解析を行なって、波高と周期を定義した。

4. 実験結果とその考察 :

4-1 碎波点近傍の水位変動

図-2と図-3は、潜堤の無次元潜水深が $R/h=0.28$ の場合で潜堤上で碎波するときの水位変動を碎波水位計で計測したものである。図-2と図-3はともに入射波の有義波周期 $T_{1/3}$ が1.0s、波形勾配相当比 $H_{1/3}/gT_{1/3}^2=0.0046$ 、水深波長相当比 $h/gT_{1/3}^2=0.0510$ に対するものであり、図-2は方向集中度パラメーター $S_{max}=10$ で図-3は $S_{max}=75$ の場合である。図中の12個の時間波形は碎波水位計の1ch~12chの受感部に対応しており、図面上から下に向かう方向が主波向きであり、 η と t はそれぞれ図中に○印で示す波について静水面からの波峰高さと造波開始からの時間である。また、点線の矢印に添えて表示した時間は、図中の○印で示す波が2つの受感部間を進行するのにかかった時間(秒)であり、この進行時間より波の進行方向が推測できる。

図中のWave Breakingと記したところで η が最大になっているが、ほぼこの地点で碎波したことをビデオテープレコーダーの解析で確認している。このため、図中で η と t に下添字の b をつけて碎波点であることを明示している。したがって、図-2と図-3に示す波は碎波直前から碎波に至る変形過程を示していること

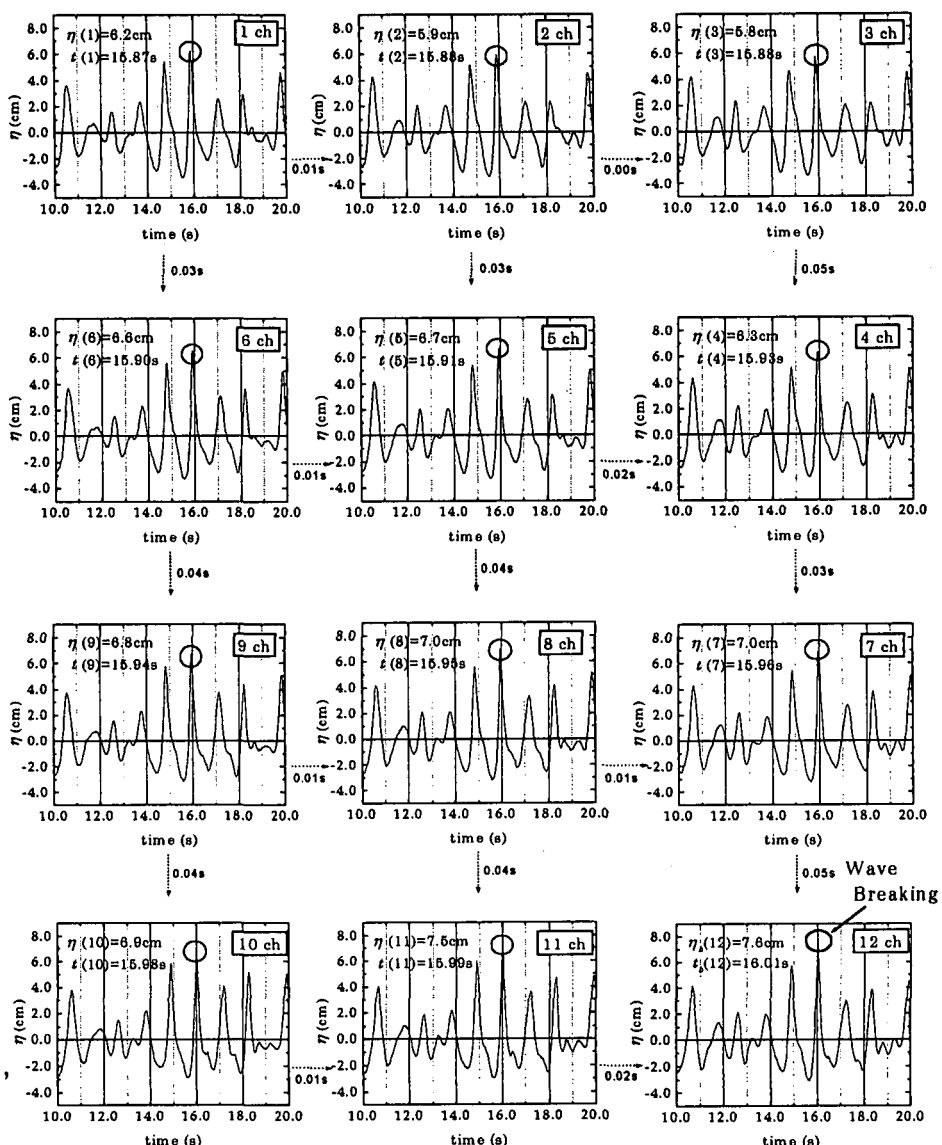


図-2 碎波水位計により計測された水位の時間波形

$$(S_{max}=10, R/h=0.28, H_{1/3}/gT_{1/3}^2=0.0046, h/gT_{1/3}^2=0.0510)$$

がわかる。

さて、図-2と図-3に例示されているように、本実験では最大波峰高が生じる地点でほぼ碎波が発生したが、最大波峰高の波は必ずしも最大波高の波に対応しなかった。図-2と図-3に示すように、碎波近傍の波は波と潜堤の非線形干渉のために波峰が尖り、波谷が平偏になることが認められる。さらに、多方向性の強い波、言い換えると S_{max} が小さくなるにつれて、碎波のみならず碎波しない波についても水位の空間変化が大きくなるが、このことは $S_{max}=10$ の図-2の ch1～ch12 の時間波形からも確認できる。すなわち、図-2の $S_{max}=10$ の場合受感部 ch1～ch12 の時間波形に異なる部分があるが、図-3の $S_{max}=75$ の場合は受感部 1ch～12ch の時間波形の差異は極めて小さいことが認められ、碎波に入射波の多方向性が影響することが指摘できる。

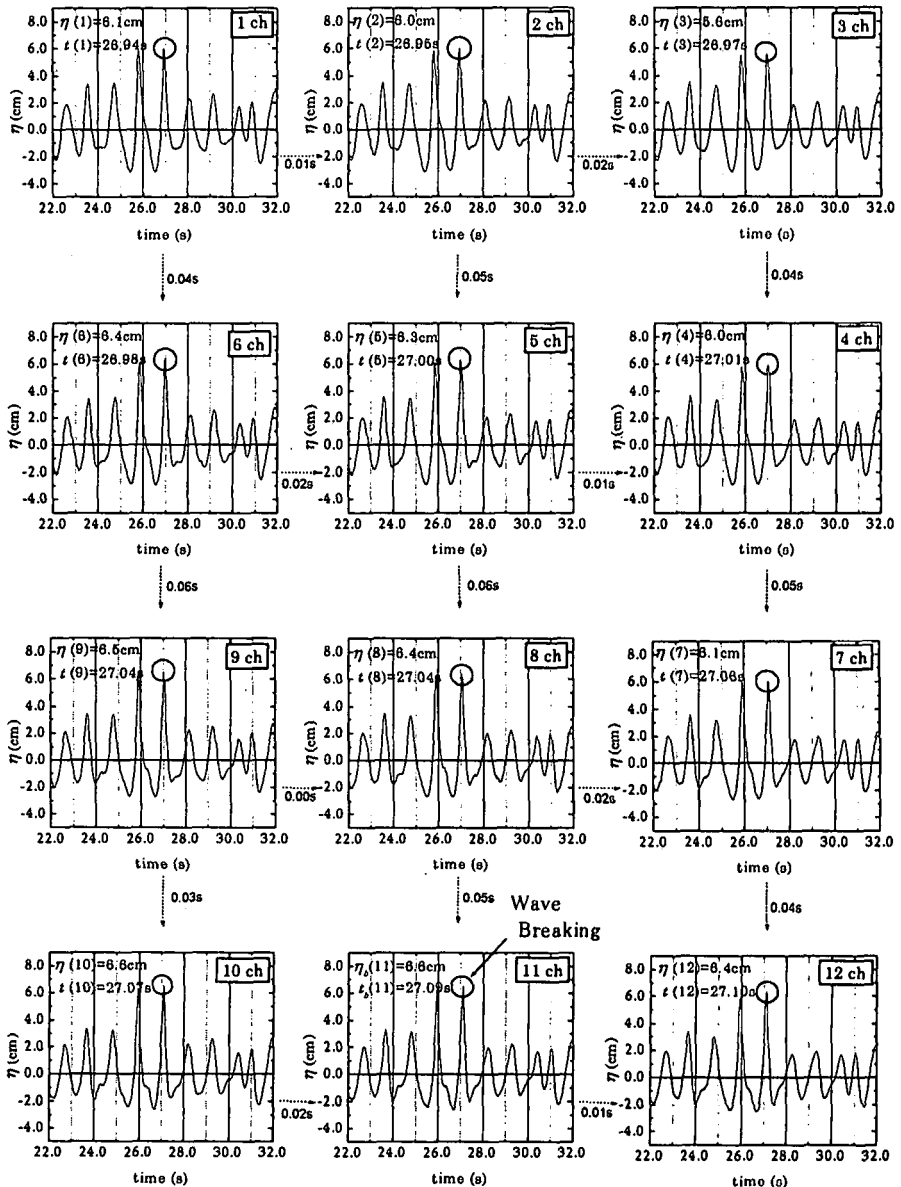


図-3 碎波水位計により計測された水位の時間波形
($S_{max}=75$, $R/h=0.31$, $H_{1/3}/gT_{1/3}^2=0.0046$, $h/gT_{1/3}^2=0.0510$)

4-2 碎波状況と碎波限界

本実験では、碎波形式は Spilling 型碎波（崩れ波）と Plunging 型碎波（巻き波）の中間型の碎け方であり、典型的な Spilling 型碎波および Plunging 型碎波は発生しなかった。

さて、潜堤による多方向不規則波の碎波は、本実験では、規則波と異なり、幾つかの地点で数波碎けるだけであり、図-4に例示するように、碎波の発生頻度は極めて小さい。図-4はゼロ・ダウンクロス法で波別解析された波高と周期の関係を示したもので、図中の×印は碎波を、また●印は非碎波を表わしている。図-4に例示されるように、 $R/h=0.28$ と 0.31 に対し、碎波はほぼ入射波の有義波周期 $T_{1/3}$ に近い周期 ($0.8T_{1/3} \sim 1.2T_{1/3}$) を持ち、波高が入射波の有義波高 $H_{1/3}$ の 1.5 倍 ($1.5H_{1/3}$) より大きい場合に生じている。

図-5は方向集中度パラメーター S_{max} と無次元碎波位置 x_b/B の関係を示したものであり、 x_b は潜堤沖側前面から碎波点までの主波向軸に沿う距離、□○■●印は x_b/B の平均値、エラーバーは実験値のばらつきを示す。同図より、全ての実験値が $0.1 < x_b/B < 0.95$ にあることから、碎波は潜堤上で発生したことがわかるが、碎波位置 x_b/B に及ぼす相対天端水深 R/h の効果はほとんど認められない。これは $R/h=0.28$ と 0.31 に大差がないためと思われる。

また、図-5によれば、入射波の有義波周期 $T_{1/3}=1.0\text{s}$ ($H_{1/3}/gT_{1/3}^2=0.0046$ で $h/gT_{1/3}^2=0.0510$) の波の x_b/B が平均的に入射波の有義波周期 $T_{1/3}=1.6\text{s}$ ($H_{1/3}/gT_{1/3}^2=0.0016$ で $h/gT_{1/3}^2=0.0199$) の波より小さいことが認められる。この理由としては、 $T_{1/3}=1.0\text{s}$ の波の有義波高 $H_{1/3}$ が $T_{1/3}=1.6\text{s}$ の波の有義波高より 0.5cm 大きく、したがって波形勾配相当比 $H_{1/3}/gT_{1/3}^2=0.0046$ とかなり大きく、 $T_{1/3}=1.0\text{s}$ の周期の短い波の方が $T_{1/3}=1.6\text{s}$ の周期が長い波より潜堤の影響

を受けて変形し易くなり、このため $T_{1/3}=1.0\text{s}$ の波の方が $T_{1/3}=1.6\text{s}$ の波より沖側で碎けたものと推察される。

無次元碎波位置 x_b/B は入射波の方向集中度パラメーター S_{max} によっても変化する。 S_{max} が 10 から 25 にかけて x_b/B は一度小さくなるが、25 以上になると S_{max} の増加につれて x_b/B が岸側へ移動し、 $S_{max}=\infty$ の一方向不規則波の場合が最も岸側となる。この理由の一つとして、波の多方向性が強くなると、潜堤により進行方向が異なる波の屈折や反射に伴なう干渉が強くなり碎波し易くなり、このため S_{max} が小さくなるにともない x_b/B が小さくなつた事が挙げられる。 $S_{max}=25$ の時 x_b/B が最も小さくなる理由はわからないが、潜堤の幾何スケールと造波した多方向不規則波の特性の関係で、 $S_{max}=25$ の波が潜堤で最も変形し易く不安定になり早く碎けたものと推測される。

図-6 は方向集中度パラメーター S_{max} と碎波時の相対波高 H_b/R (以後、限界相対波高と略称する) の関係を R/h , $H_{1/3}/gT_{1/3}^2$ と $h/gT_{1/3}^2$ をパラメーターとして示したものである。比較のため同図には一定水深に対して提案された Miche の式 (1944) による値が示されている。なお Miche の値は次式で計算されている。

$$\left. \begin{aligned} \frac{H_b}{L_b} &= 0.142 \tanh \frac{2\pi R}{L_b} \\ L_b &= \frac{g}{2\pi} T_z^2 \tanh \frac{2\pi R}{L_b} \end{aligned} \right\} (2)$$

ここで、式(2)の T_z はゼロ・ダウンクロス法で定義される碎波の周期である。この式(2)は斜面上に設置された透過性潜堤に対する碎波限界式として精度は悪くないことが指摘されている (Rojanakamthorn ら(1990))。

図-6 によれば、 S_{max} が小さくなるにつれて H_b/R の値の変動幅が大きくなることが認められるが、これも碎波位置 x_b/B で指摘したように、波の多方向性が強くなると、波相互あるいは波と潜堤の干渉度合いが複雑になるので碎波限界に幅ができたものと考えられる。また、図-6 によれば、実験値はばらついているが、 S_{max} が 10 から大きくなるにつれて限界相対波高 H_b/R が平均的に小さくなる。このことは多方向性の強い波ほど、平均的に限界相対波高 H_b/R が大きくなることを示している。これは、多方向不規則波では、 $S_{max}=\infty$ の一方向不規則波と異なり、進行方向の異なる波が合成されて部分重複波の性質を帯びた切れ波の状態となるため波高が大きくなつたためである。このように、図-5 と図-6 より、波の多方向性が強くなるにつれて潜堤の沖側天端上で波高が大きくなり早く碎波するようになることが指摘できる。さらに、多方向不規則波の限界相対波高 H_b/R は Miche の式 (式(2)) より小さく、多方向不規則波の限界相対波高を Miche の式 (式(2)) で推算すると過大評価となることに注意を要する。

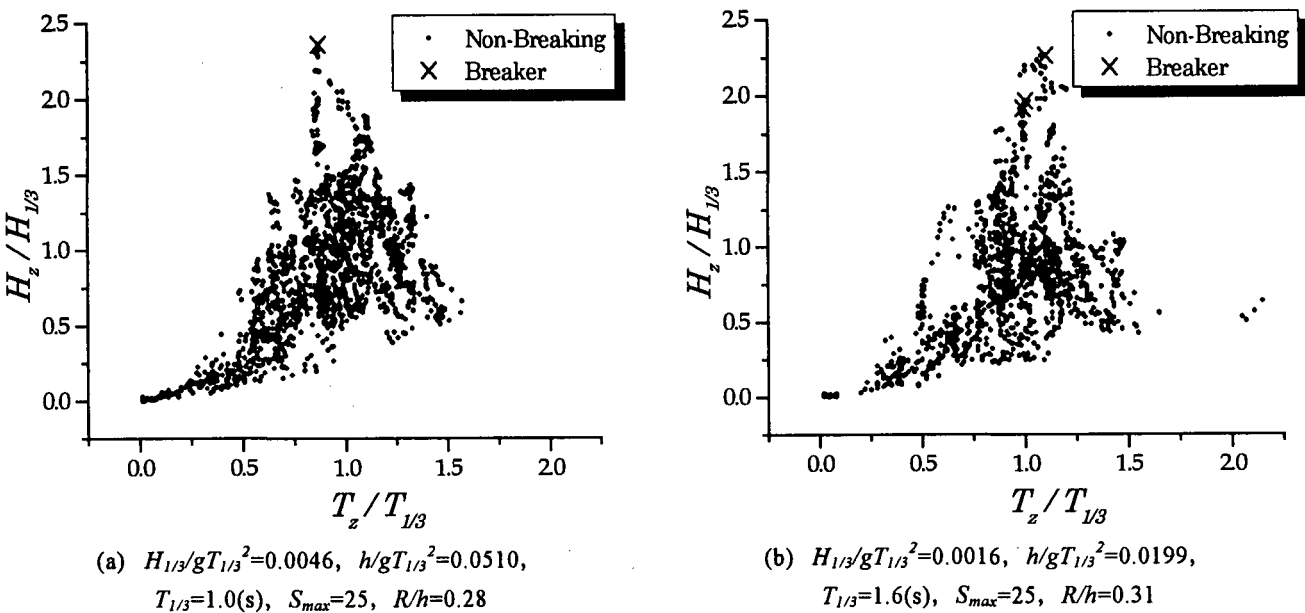


図-4 ゼロ・ダウンクロス法で定義した波の周期と波高の関係

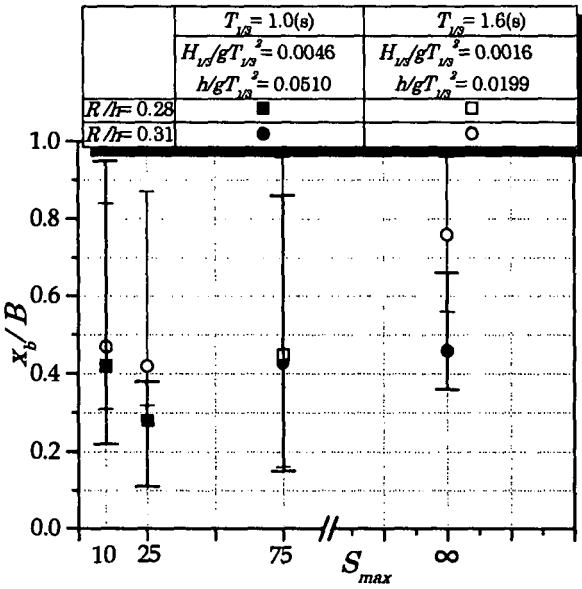


図-5 碎波位置と方向集中度の関係

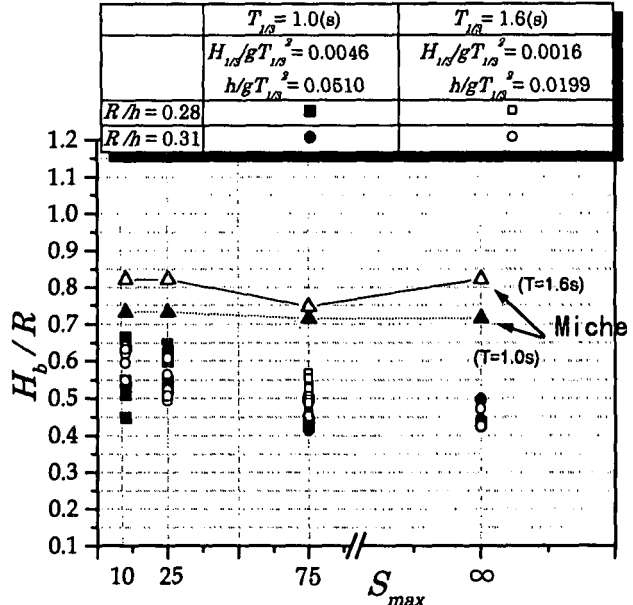


図-6 方向集中度と限界相対波高の関係

5. 結語 :

本論では多方向不規則波の碎波を詳細に計測するためにはまず碎波水位計を試作し、この碎波水位計を使って潜堤による多方向不規則波の碎波の水位変動を計測しその特性について記述してきた。得られた主要な結論は以下のように要約できる。

- (1) 本研究で試作した“Shot-gun”方式の碎波水位計により多方向不規則波の碎波状況、碎波限界、碎波直後の波の変形をかなり精度高く計測できることが判明した。特に、ヴィディオカメラを同時に使用すると、碎波位置の特定や碎波瞬時の水位変動を求めることが可能である。
- (2) 方向集中度パラメータ S_{max} が小さくなるにつれて、すなわち波の多方向性が強まるにつれて限界相対波高 H_b/R が平均的に大きくなるとともに H_b/R の分布が広くなる。また、方向集中度パラメーター S_{max} が小さくなるにつれて、碎波位置 x_b/B が平均的に小さくなり、潜堤の沖側天端上で碎けるようになる。
- (3) 潜堤上で碎ける多方向不規則波の限界相対波高 H_b/R を一定水深域の規則周期波に対して提案された Miche の式で算定すると過大評価になる。

上記したような結果が得られたが、今後潜堤による多方向不規則波の碎波限界についてさらに検討を加えていく所存である。なお、本研究は文部省科学研究補助金（基盤(B)(2)；研究代表者 名古屋大学 岩田好一郎）の助成をうけて行なわれたものであることを付記する。

参考文献 :

- 合田良実・鈴木康正 (1975) : 光易型方向スペクトルによる不規則波の屈折・回折計算, 港湾研究資料, No.230, pp.1-45.
- 松本幸久 (1998) : 潜堤による多方向不規則波の碎波限界に関する実験的研究, 名古屋大学 卒業論文, 25p.
- 光易 恒 (1970) : 風波のスペクトルの発達(2)ー有限な吹送距離における風波のスペクトルの形について, 第17回 海岸工学講演会講演集, pp.1-7.
- Miche, A. (1944) : Mouvement ondulatoires de la mer en profondeur constante ou décroissante. Forme limite de la houle lors de son déferlement : Application aux digues maritimes, Ann. Ponts et Chaussées, Tome 114.
- Rojanakamthorn, S.・磯部雅彦・渡辺 晃 (1990) : 透過潜堤上における波の碎波変形計算法, 海岸工学論文集, 第37卷, pp.549-553.